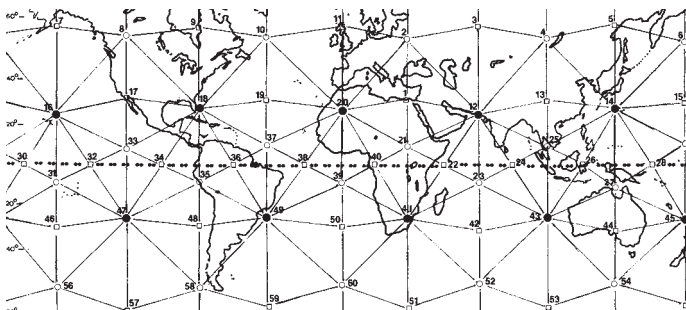


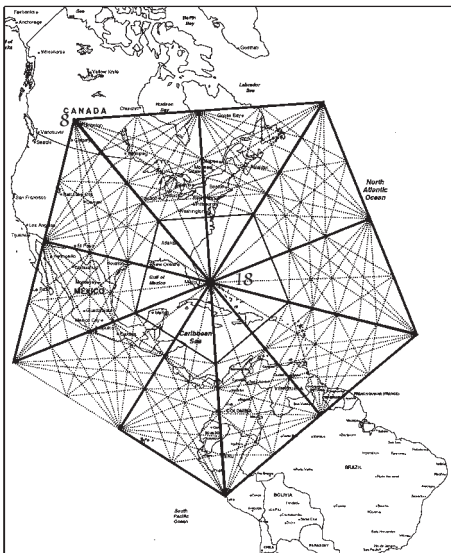
POZORUHODNÉ PRŮSEČÍKY

anomálie ve vrcholech

Níže zobrazená síť Beckera a Hagensově zachovává očíslování vrcholů sítě ruské. V okolí mnoha vrcholů vzkvétaly starověké civilizace, ale kryje se s nimi jen málo posvátných starověkých míst. Zhruba od roku 2 600 př. n. l. prosperovali Egypťané na Gízské plošině (vrchol 1) i obyvatelé v okolí komplexu pyramid v Caral na severozápadě Peru (vrchol 35).

Fotografické údaje shromážděné americkými a ruskými družicemi potvrzují linii zlomu táhnoucí se od Maroka k Pákistánu (vrcholy 20 až 12). Existují též geologické struktury na kružnicích o poloměru 240–320 km ve vrcholech 17 (Cerro Cubabi, hora v pohoří Cubabi na severu Mexika), 18 (okraj kontinentálního šelfu poblíž bahamského ostrova Great Abaco) a 20 (pohoří El Eglab na kraji Sahary poblíž Timbuktu). Zajímavé jsou vrcholy 49 jihovýchodně od Ria de Janeira a 27 v Carpentarském zálivu na severovýchodě Austrálie. Zdá se, že se kolem nich formuje pevnina, takže by tyto průsečíky mohly fungovat jako energetická centra a utvářet zemský povrch po dobu mnoha tisíciletí.



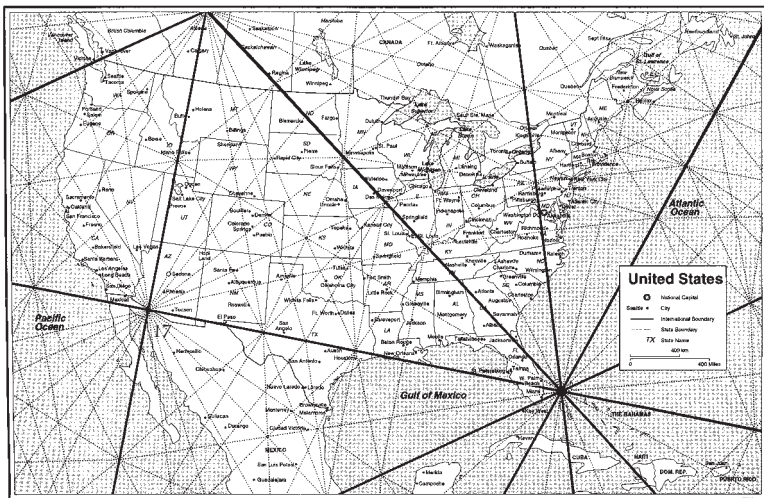


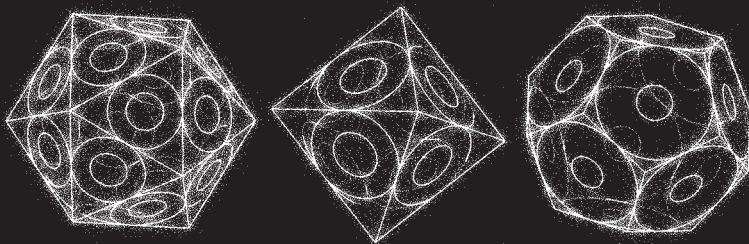
Vlevo: Vrchol 8 leží poblíž jezera Buffalo Lake v kanadské Albertě. Vrchol 18 je středem pentagonální stěny. V Bininí nedaleko od pobřeží Floridy byly objeveny velké megalitické „sílnice“ nasvědčující tomu, že zde žila dosud neznámá společnost, která dokázala tesat a přemísťovat obří kameny. Je zároveň severním cípem bermudského trojúhelníku.

Dole: Vrchol 17 leží poblíž přírodní rezervace Organ Pipe National Monument. Praulavý lid Hohokamů zde postavil obdivuhodné zavlažovací kanály. Civilizace Hohokamů existovala asi 9 000 let. Je to nejposvátnější teritorium nejstaršího původního lidu v Severní Americe.

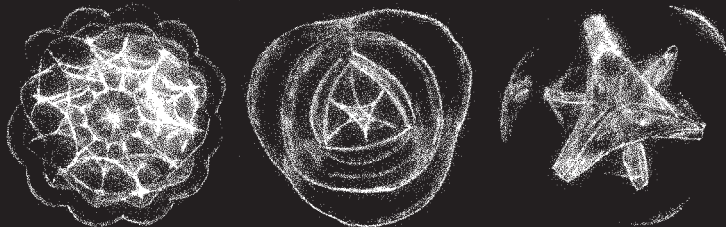
Nacházejí se zde malé pyramidy, petroglyfy (některé zachycují „výbuchy hvězd“ v pohorí White Tanks) a Mt. Phuacate.

V blízkosti oblasti pašerácká droga je nyní obří farma komunikačních satelitních antén.

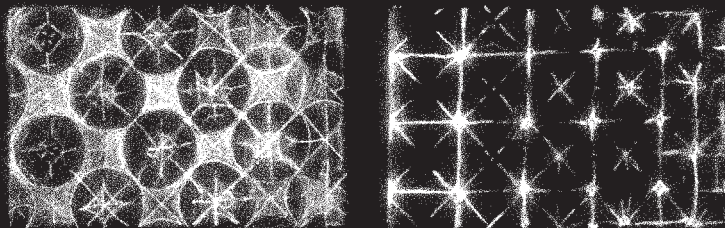




Kymatické vibrační kruhy vyvolané na stěnách dvacetistěnu, osmistěnu a dvanáctistěnu.



Kymatické tvary podle fotografií Hanse Jemmyho, na nichž je zobrazen průchod světla vibrující volou. V některých případech byly vibrace vyvolány dvěma tóny. Objeví se dvanáctipólové, třípólové a šestipólové tříúhelníkové tvary.

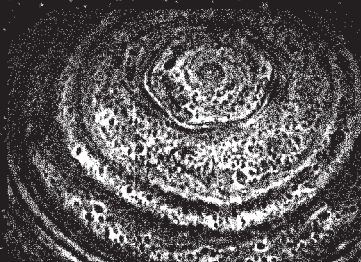
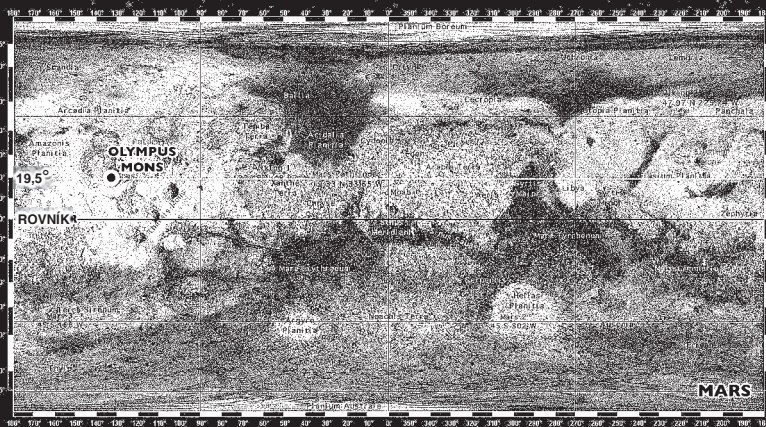
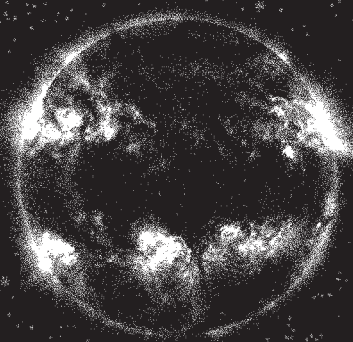
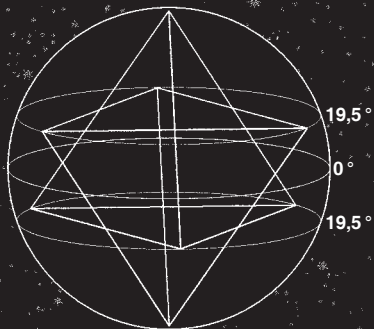


Rovněž překresleno z fotografií Hanse Jemmyho. Terpentýn vibrující na filmu vytváří síťovité vzory, jež připomínají Curryho a Hartmannovu síť (strana 24).

GEOMETRIE NA JINÝCH PLANETÁCH

energetická uspořádání jsou všude

V roce 1990 přišel nekonvenční americký vědec Richard Hoagland s myšlenkou, že geometrie čtyřstěnů může sloužit k lokalizaci zdrojů vysoké energie na planetách celé sluneční soustavy. Pomocí čtyřstěnů s vrcholy na pólech je definována severní a jižní zeměpisná šířka $19,47^\circ$. Hoagland si všiml, že právě na nich leží Olympus Mons (sopka na Marsu třikrát vyšší než Mount Everest – vůbec nejvyšší hora naší sluneční soustavy) stejně jako neaktivnější sopka na Zemi: Kilauea na Havaji. Mezi další jevy spojené se zeměpisnou šířkou $19,5^\circ$ patří zvýšená aktivita erupcí na povrchu Slunce (*naproti nahore*) a temné pásy kolem Saturnu. Existuje mnoho dalších příkladů planetárních geometrií. Rudá skvrna na Jupiteru se nachází na zeměpisné šířce $22,5^\circ$, což odpovídá čtvrtině kvadrantu. Na stejné zeměpisné šířce leží podobná velká tmavá skvrna na Neptunu, doprovázená úzkým pásem bílých mračen obíhajících planetu, kterou objevila NASA v červnu 1994. V dubnu 1995 skvrna na Neptunu zcela vymizela, ale brzy se objevila znovu, tentokrát na severní polokouli, opět na zeměpisné šířce $22,5^\circ$ a s identickým pásem mračen! NASA podotkla, že je „takřka zrcadlovým obrazem skvrny první“. V roce 1981 vědci s úžasem objevili na severním pólu Saturnu stacionární „kymatický“ šestiúhelník, dvakrát větší než Země, s několika vrstvami lineárních oblačných pásů vířících kolem něj. Miranda, Měsíc Uranu, vykazuje obří trojúhelníkové útvary podobající se stěnám dvacetistěnu, jakož i další mnohoúhelníkové oblasti (stejného tvaru, jako když přiložíme pentagon přes hexagon), jež očividně utvářejí terén tohoto Měsíce. Je opravdu tak nesnadné si představit, že energetické geometrie existují i na Zemi?



Nahoře vlevo: Čtyřlístky vepsané do koule definují šířku $19,5^\circ$ nad a pod rovníkem.

Nahoře vpravo: Na šířce $19,5^\circ$ nad a pod rovníkem dochází ke zvýšené aktivitě slunečních erupcí.

Uprostřed: Hoagland postřehl, že sopka Olympus Mons na Marsu leží na $19,5^\circ$ s. š., jež je definována čtyřlístky vepsanými do koule.

Vlevo: Šestúhelník na severním pólu Saturnu si trvale uchovává integritu a je pozorován již od svého objevení v roce 1981 (převzato se svolením NASA).

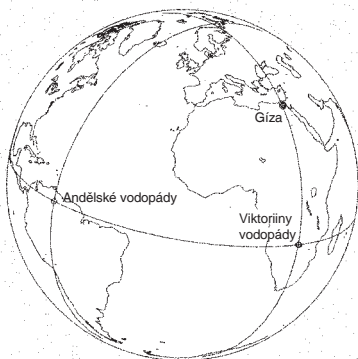
PŘÍRODNÍ SÍTĚ

vodopády, sopky a hory

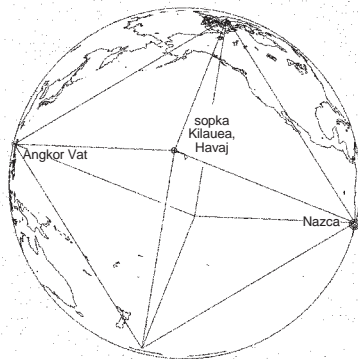
Existují dechberoucí nové důkazy, že součástí určitých sítí mohou být i díla přírody velkého geomantického významu, jako jsou sopky a vodopády. Například dva největší vodopády na Zemi, Viktoriiny v Africe a Andělské ve Venezuele, mají mezi sebou úhlovou vzdálenost přesně 90° , a vytvářejí tak dva vrcholy na osmistěnu, jímž je určena také poloha pyramid v Gíze (*naproti nahoře vlevo*). Další osmistěn (*naproti nahoře vpravo*) spojuje neaktivnější sopku Země, Kilaueu na Havaji, se dvěma významnými starověkými stavbami Angkor Vat a Nazca. Kilauea sousedí s největší sopkou planety, Mauna Loa. Obě leží na $19,5^\circ$ severní šířky, a začleňují se tím do čtyřstěnné geometrické struktury (*předchozí kapitola*).

Naproti dole vlevo jsou znázorněny dvě hlavní zemské kružnice, jež obě spojují Kilaueu a dva zmíněné obří vodopády. Na jedné navíc leží hora Mount Shasta v Kalifornii a na druhé Mount Everest. Horu Shasta považují někteří Indiáni za posvátnou a vyprávějí, že na ni z nebe sestoupil a obývá ji náčelník duchů Skell. Zároveň Shasta zaujímá prominentní místo na stezce „Duhového hada“ (*strana 28*).

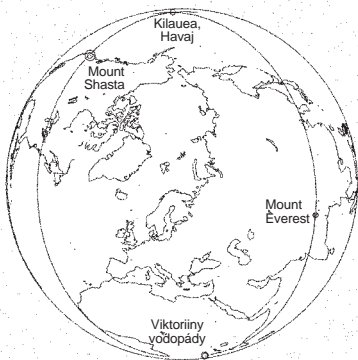
Na závěr se zmiňme o nově objevené hlavní kružnici propojující tři někdejší světová centra: Gízu, Lhasu a megalitické ostrovy Tonga. Lhasa, doslova „místo bohů“, je uctívána jako nejsvětější místo Tibetu. Na ostrovech Tonga se nalézají stovky megalitů včetně trilitu Ha'amonga, jehož tvar známe i ze Stonehenge. Na rozdíl od jiných tichomořských souostroví si ostrovy Tonga zachovaly domorodou vládu a jsou dnes jedinou nezávislou monarchií v celé oblasti. O Tonga i o Havajských ostrovech se má za to, že mohly být středisky předatlantické lemurské civilizace. Zápletka se komplikuje!



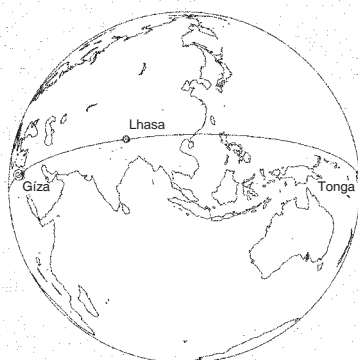
Andélské vodopády (Kerepakuyai Vená), největší vodopády na světě (979 metrů), 90° od druhých největších vodopádů – Viktoriných (podle Martineaua).



Kilauea je jednou z pěti takzvaných štítových sopek, jež tvoří Havajské ostrovy. Je aktivní nepřetržitě od ledna 1983 a sousedí s největší sopkou světa Mauna Loa.



Horní Mt. Shasta považují různí vykladači za uzel vesmírné energie, přistávací místo pro UFO, lemmingskou svatyni, bránu do pátého rozměru a naleziště kouzelných krystalů!



Hlavní kružnice Země spojující Gízu, Lhasu a Tongu – tři významná hlavní města dávných dob, považovaná v příslušných kulturách za „posvátná střediska“.

SKRYTÁ TVÁŘ SÍTĚ

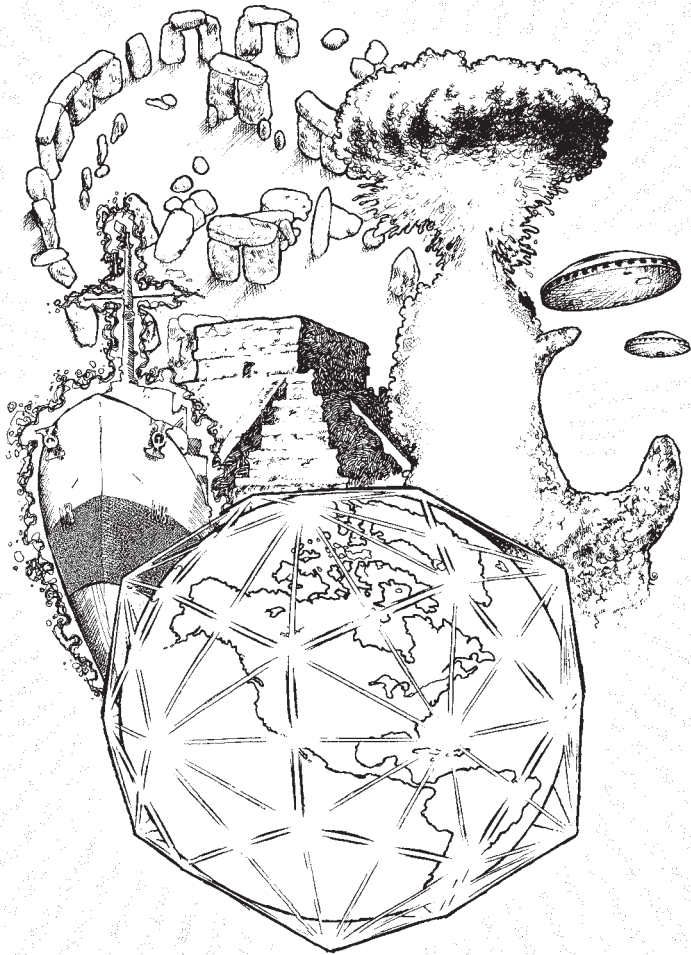
antigravitace, teleportace, víry

Při debatách o pozemské energetické síti jsou zdrojem největších sporů témata mimozemská: letové dráhy UFO, antigravitace a cestování časem. V roce 1943 při takzvaném filadelfském experimentu s lodí *USS Eldridge* loď údajně „zmizela“ v podivném oparu a byla přenesena 300 kilometrů do doků v Norfolku a zpět na pulsujícím magnetickém poli podél linie zemské energetické sítě.

Bruce Cathie tvrdí, že jaderné testy lze provádět jedině ve specifických bodech sítě v přesných momentech astronomického času, díky čemuž je nukleární válka velmi nepravděpodobná, jelikož by nepřítel musel čekat s odvetou celé měsíce. Cathie dále tvrdí, že energii sítí využívají UFO k pohonu svých vesmírných plavidel, což nám připomíná pradávno legendu o tom, jak Merlin „přeplavil“ balvany z Irska a Walesu do Stonehenge.

V třicátých a čtyřicátých letech 20. století vybudoval Ed Leedskalnin megalitickou vesnici Coral Castle na Floridě poblíž 18. vrcholu sítě UVG. Sám nalámal, otesal, vyzdvihl a přenesl více než 1 100 tun kamene bez použití moderních nástrojů. Rozluštil prý tajemství stavitelů pyramid, ale vzal si je do hrobu. Často se pozorují podivné víry energie v takových místech, jako je Oregonský vír (vortex) v USA. Jsou provázeny dilatací času, světelnými efekty a gravitačními anomáliemi. Vyneseme-li místa těchto vírů do souřadnic, propojí se do síťovité struktury rozprostřené nad celou Amerikou.

Co říci závěrem? Energetická síť Země zůstává záhadou. Ale ať už je systémem subtilních energií, dílem dávných čarodějů, výtvozem mimozemšťanů anebo výplodem lidské představivosti, zve nás k úchvatnému cestování po mnoha neuvěřitelných místech.



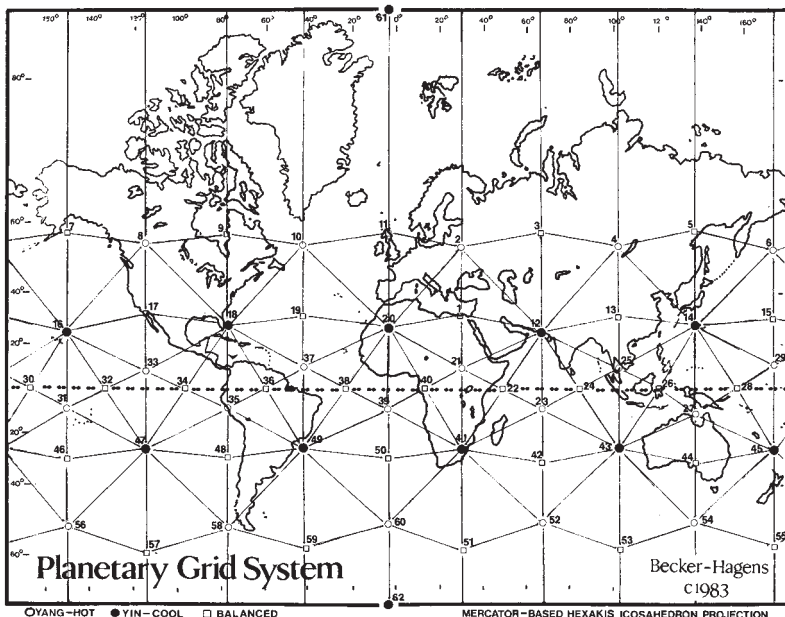
DODATEK I

úplný seznam vrcholů sítě UVG

- 1) 31,72° s. š., 31,20° v. d.
Na egyptském kontinentálnímu šelfu, přibližně v polovině vzdálenosti mezi doěma ústími Nilu u Masabb Rashid a Masabb Dumyat. Velmi blízko Behdetu.
- 2) 52,62° s. š., 31,20° v. d.
Na řece Soč východně od Gomelu na hranici mezi Ukrajinou, Běloruskem a Ruskem. Mnoho megalitických staveb, naleziště sošek Venuší ze starší doby kamenné.
- 3) 58,28° s. š., 67,20° v. d.
V bažinaté nížině přímo na západ od Tobolsku.
- 4) 52,62° s. š., 103,20° v. d.
V nížině severně od jižního cípu Bajkalského jezera, na úpatí vrchoviny.
- 5) 58,28° s. š., 139,20° v. d.
Na vrchovině podél pobřeží Ochotského moře.
- 6) 52,62° s. š., 175,20° v. d.
Mírně na východ od Attu, nejzápadnějšího z Aleutických ostrovů.
- 7) 58,28° s. š., 148,80° z. d.
Okraj kontinentálního šelfu v Aljašském zálivu.
- 8) 52,62° s. š., 112,80° z. d.
Jezero Buffalo v Albertě, na okraji vrchoviny.
- 9) 58,28° s. š., 76,80° z. d.
Přímo na východ od Port Harrisonu v Hudsonově zálivu.
- 10) 52,62° s. š., 40,80° z. d.
Gibsova zlomová zóna.
- 11) 58,28° s. š., 4,80° z. d.
Loch More na severozápadním pobřeží Skotska.
- 12) 26,57° s. š., 67,20° v. d.
Na okraji pohoří Kirthar v sousedství řeky Indus, přímo na sever od Karáčí.
- 13) 31,72° s. š., 103,20° v. d.
Na jižním okraji Himalájí v provincii Sečuán, přímo na západ od vrcholu Jüding šán.
- 14) 26,57° s. š., 139,20° v. d.
Na křížovatce hřbetů Kydshu Palau, West Mariana a Iwodžima.
- 15) 31,72° s. š., 175,20° v. d.
Na Hessově plošině, na křížovatce Havajského hřbetu a Císařského podmořského pohoří.
- 16) 26,57° s. š., 148,80° z. d.
Severovýchodně od Havaje, v polovině vzdálenosti mezi Murrayovou zlomovou zónou a Molokaiovou zlomovou zónou.
- 17) 31,72° s. š., 112,80° z. d.
Cerro Cubabi, hora jižně od hranice mezi USA a Mexikem, poblíž Sonoity a lávových polí.
- 18) 26,57° s. š., 76,80° z. d.
Okraj kontinentálního šelfu poblíž bahamského ostrova Great Abaco.
- 19) 31,72° s. š., 40,80° z. d.
Atlantská zlomová zóna.
- 20) 26,57° s. š., 4,80° z. d.
El Eglab, kopcovitý poloostrov na okraji saharských dun.
- 21) 10,81° s. š., 31,20° v. d.
Súdánská vysočina na okraji mokřin při Bílém Nilu.
- 22) 0°, 49,20° v. d.
Somálská hlubokomořská plošina.
- 23) 10,81° j. š., 67,20° v. d.
Příkop Vema v Indickém oceánu na průsečnicku Maskarénského hřbetu, Arabsko-indického hřbetu a Maledivského hřbetu, směřující ke Středoindickému hřbetu.
- 24) 0°, 85,20° v. d.
Cejlonská hlubokomořská plošina.
- 25) 10,81° s. š., 103,20° v. d.
Kompong Som, zátoka při jižním pobřeží Kambodže, jihozápadně od Phnompenhu.
- 26) 0°, 121,20° v. d.
Střed zátoky Tomini v severní části ostrova Sulawesi.
- 27) 10,81° j. š., 139,20° v. d.
Střed ústí Carpentarského zálivu.
- 28) 0°, 157,20° v. d.
Střed Salamounovy plošiny.
- 29) 10,81° s. š., 175,20° v. d.
Střed rozlehlé hlubokomořské plošiny mezi Marshallovými ostrovy, Středopacifickými horami a Magellanovou plošinou.
- 30) 0°, 166,80° z. d.
Koryto Nova Canton.
- 31) 10,81° j. š., 148,80° z. d.
Společenské ostrovy.
- 32) 0°, 130,80° z. d.
Galapágská zlomová zóna.
- 33) 10,81° s. š., 112,80° z. d.
Východní okraj Clippertonovy zlomové zóny.
- 34) 0°, 94,80° z. d.
Křížovatka hřbetu Coeos a Carnegieho hřbetu, západně od Galapág.
- 35) 10,81° j. š., 76,80° z. d.
Jezero Punruun v peruánské pobřežní vrchovině.
- 36) 0°, 58,80° z. d.
Stát Amazonas, na výbežku vrchoviny v povodí malých toků.
- 37) 10,81° s. š., 40,80° z. d.
Zlomová zóna Vema.
- 38) 0°, 22,80° z. d.
Zlomová zóna Romanche.
- 39) 10,81° j. š., 4,80° z. d.
Okraj Středoatlantského hřbetu na Angolské pánvi přímo na jihovýchod od zlomové zóny Ascension.

- 40) 0°, 13,20° z. d.
Gabonská vrchovina, na křižovatce tří hranic.
- 41) 26,57° j. š., 31,20° v. d.
L'ujengo na řece Usutu River ve Svazijsku.
- 42) 31,72° j. š., 67,20° v. d.
Křižovatka Středoindického hřbetu a Západindického hřbetu.
- 43) 26,57° j. š., 103,20° v. d.
Cíp plošiny Wallabi.
- 44) 31,72° j. š., 139,20° v. d.
Nížina na východ od St. Mary Peak (nevyššího vrcholu v oblasti) a na severovýchod od Spencerova zálivu.
- 45) 26,57° j. š., 175,20° v. d.
Na okraji Hebridského příkopu, jihozápadně od Fidži.
- 46) 36,72° j. š., 148,80° z. d.
Nerozlišené místo v jižním Pacifiku (!).
- 47) 26,57° j. š., 112,80° z. d.
Zlomová zóna Velikonočního ostrova.
- 48) 31,72° j. š., 76,80° z. d.
Deska Nacza.
- 49) 26,57° j. š., 40,80° z. d.
V hlubokém oceánu na okraji kontinentálního šelfu, jihovýchodně od Ria de Janeira.
- 50) 31,72° j. š., 4,80° z. d.
Velký hřbet.
- 51) 58,28° j. š., 31,20° v. d.
Enderbijská hlubokomořská plošina.
- 52) 52,62° j. š., 67,20° v. d.
Kerguelenská plošina.
- 53) 58,28° j. š., 103,20° v. d.
Oceánské dno, v polovině vzdálenosti mezi Kerguelenskou hlubokomořskou plošinou a Wilkeskou hlubokomořskou plošinou.
- 54) 52,62° j. š., 139,20° v. d.
Zlomová zóna Kangaroo.
- 55) 58,28° j. š., 175,20° v. d.
Okraj Scottovy zlomové zóny.
- 56) 52,62° j. š., 148,80° z. d.
Udicnevova zlomová zóna.
- 57) 58,28° j. š., 112,80° z. d.
Zlomová zóna Etamin.
- 58) 52,62° j. š., 76,80° z. d.
Cíp Jižní Ameriky na okraji Haeckel Deep.
- 59) 58,28° j. š., 40,80° z. d.
Zlomová zóna South Sandwich.
- 60) 52,62° j. š., 4,80° z. d.
Boivotova zlomová zóna.
- 61) SEVERNÍ PÓL
- 62) JIŽNÍ PÓL

Vrcholy planetární sítě UVG podle modelu Williama Beckera & Bethy Hagensové.



DODATEK II

zeměpisné šířky a délky vybraných míst

(S označuje „s. š.“, V označuje „v. d.“ atd.)

Alexandrie – 31°11'53"S, 29°59'09"V	Luxor – 25°42'00"S, 32°38'22"V
Angkor Vat – 13°24'45"S, 103°52'01"V	Machu Picchu – 13°09'50"J, 72°32'46"Z
Arbor Low – 53°10'08"S, 1°45'42"Z	Mekka – 21°25'38"S, 39°48'53"V
Avebury – 51°25'43"S, 1°51'09"Z	Mohendžodaro – 27°19'31"S, 68°08'00"V
Baalbek – 34°0'25"S, 36°12'11"V	Nabta – 22°30'29"S, 30°43'32"V
Babylon – 32°32'32"S, 44°25'15"E,	Nan Madol – 6°50'41"S, 158°20'06"V
Bimini (sever) – 25°46'0"S, 79°16'43"Z	Nazca – 14°41'31"J, 75°09'00"Z
Bosenská pyramidy – 43°58'37"S, 18°10'41"V	Newarský oktagon – 40°03'17"S, 82°26'39"Z
Bryn Celli Ddu – 53°12'28"S, 4°14'05"Z	Newgrange – 53°41'41"S, 6°28'30"Z
Canterbury – 51°16'45"S, 1°05'03"V	Ohio Serpent Mound – 39°01'30"S, 83°25'41"Z
Caral – 10°53'28"S, 77°31'24"V	Ollantaytambo – 13°15'26"J, 72°16'02"Z
Callanish – 58°11'51"S, 6°44'42"Z	Paracas – 13°51'10"J, 76°17'50"Z
Carnac, Bretaň – 47°34'17"S, 2°57'01"Z	Quito – 13°46'47"J, 78°31'27"Z
Chavín – 9°36'47"S, 77°13'58"Z	Rennes-le-Château – 28°52'11"S, 42°53'57"V
Chichén Itzá – 20°40'59"S, 88°34'07"Z	Rollrightske kameny – 51°58'33"S, 1°34'15"Z
Copán – 14°51'30"S, 2°57'05"Z	Rossllyn – 55°52'21"S, 3°07'12"Z
Coral Castle – 25°30'02"S, 80°26'40"Z	Sakkára – 29°52'17"S, 31°12'49"V
Cuzco – 13°31'06"J, 78°51'48"Z	Silbury Hill – 51°24'56"S, 1°51'24"Z
Delfy – 38°28'53"S, 22°29'46"V	Hora sv. Michala – 50°06'26"S, 5°29'12"Z
Velikonoční ostrov – 27°07'20"S, 109°21'05"Z	Stonehenge – 51°10'43"S, 1°49'30"Z
Gíza – 29°58'45"S, 31°08'03"V	Tara – 53°34'46"S, 6°36'42"Z
Glastonbury Tor – 53°08'39"S, 2°41'50"Z	Teotihuacán – 19°41'33"S, 98°50'38"Z
Göbekli Tepe – 37°13'26"S, 38°55'21"V	Tiwanaku – 16°33'24"J, 68°40'22"Z
Jericho – 31°51'01"S, 35°26'10"V	Tikal – 17°13'23"S, 89°37'24"Z
Jeruzalém – 31°46'15"S, 35°13'20"V	Tonga – 21°08'12"J, 175°02'53"Z
Kilauea – 19°25'12"S, 155°17'24"Z	Troja – 39°57'28"S, 26°14'18"V
Knóssos – 35°17'52"S, 25°09'48"V	Ur – 30°57'46"S, 46°06'11"V
Knowth – 53°42'04"S, 6°29'28"Z	Wandlebury – 52°9'29" S, 0°10'58"V
Lhasa – 29°40'02"S, 91°10'10"V	pyramida u Si-anu – 34°16'13"S, 108°49'02"V
Long Meg – 54°43'41"S, 2°40'02"Z	Jonaguni – 24°17'47"S, 123°50'37"V